网络出版时间: 2021 - 4 - 2 16:11 网络出版地址: https://kns.cnki.net/kcms/detail/34.1065. R. 20210402. 1340. 020. html

# 肝细胞内相关 mRNA 抑制 HBV 复制与表达的功能验证

黄 鹏 邱 华 范春娇 毛德文 李 旺 蒙荫杰 何锦轶

摘要 目的 验证肝细胞内抑制乙型肝炎病毒(HBV)复制 与表达的相关 mRNA。方法 通过慢病毒介导的方式将过 氧化物酶体增殖物激活受体  $\alpha(PPAR\alpha)$ 、核因子 I/B(NFIB) 及白细胞介素-8(IL-8) 基因转入 HepG2. 2. 15 及 HBV 全基 因组 1.3 倍体 HepG2(HBV1.3P-HepG2) 细胞模型中,以空 白对照(NC) 组为对照 ,转染 48 h 后采用 qPCR 检测 mRNA 表达及 HBV DNA 复制水平 化学发光法检测细胞上清液中 HBsAg 和 HBeAg 的表达 免疫荧光法检测细胞内 HBsAg 的 表达。结果 在 HepG2. 2. 15 和 HBV1. 3P-HepG2 细胞模型 中 PPARα 能够促进 HBV DNA 复制和 HBsAg 表达 其 HBV DNA 的表达分别是 NC 组的 1.46 倍和 1.27 倍(P<0.05)。 NFIB 可以抑制 HBV DNA 复制和 HBsAg 表达 其 HBV DNA 的表达分别是 NC 组的 0.76 和 0.55 倍(P<0.05)。IL-8 能 够促进 HBV DNA 复制和 HBsAg 表达 其 HBV DNA 的表达 分别是 NC 组的 1.54 倍和 1.62 倍(P<0.05)。结论 肝细 胞内 PPARα 和 IL-8 能够促进 HBV 复制与表达 ,NFIB 可以 抑制 HBV 复制与表达,可为后续研究提供实验室依据。

关键词 乙型肝炎病毒; 信使核糖核酸; 肝细胞; 慢病毒转染

2020 - 11 - 12 接收

基金项目: 国家自然科学基金(编号: 81660827、81860889); 中国博士后科学基金面上资助项目(编号: 2019M653312); 广西重点研发计划项目(编号: 2017AB45166); 第二批广西高层次骨干人才培养139 计划(编号: 桂卫科教发〔2018〕22号)

作者单位:1 广西中医药大学研究生院 南宁 530001

2 广西中医药大学第一附属医院肝病科 南宁 530023

作者简介: 黄 鹏, 男, 硕士研究生;

邱 华 男 博士 副教授 硕士研究生导师 责任作者 E-mail: qiuhua8899@163.com

技术

中图分类号 R 512.62

文献标志码 A 文章编号 1000 – 1492(2021) 05 – 0779 – 07 doi: 10.19405/j. cnki. issn1000 – 1492.2021.05.020

乙型肝炎病毒(hepatitis B virus ,HBV) 为嗜肝 DNA 病毒,全世界大约有 2.57 亿慢性 HBV 感染 者[1]。HBV 持续感染不仅引起慢性乙型肝炎(chronic hepatitis B CHB) ,也会显著增加肝硬化、肝衰竭 及肝癌的发生风险 抗病毒是 HBV 相关慢性肝病治 疗与防控的关键[2]。干扰素和核苷(酸)类似物目 前被认为是两类抗 HBV 药物 但两者均不能彻底清 除共价闭合环状 DNA (covalently closed circular DNA cccDNA) [3]。前期临床与实验研究[4-5]表明, 白花香莲解毒颗粒在抗 HBV 方面具有较好的效果, 但其抗 HBV 机制尚未完全明确。课题组根据前期 mRNA 芯片筛选结果及 miRNA 的靶基因预测结果, 选择过氧化物酶体增殖物激活受体 α(peroxisome proliferator activated receptorsα PPARα)、核因子 I/B (nuclear factor I/B ,NFIB) 和白细胞介素-8(interleukin-8 ,IL-8) 代表白花香莲解毒颗粒抑制 HBV 的靶 mRNA 进行抗 HBV 的体外验证实验[6]。该研究采 用慢病毒基因转染技术,通过 HepG2.2.15 和 HBV1. 3P-HepG2 细胞模型,验证 PPARα、NFIB 和 IL-8 mRNA 表达对 HBV 复制与表达的影响,为进一 步明确白花香莲解毒颗粒抑制 HBV 复制与表达的 机制及探寻 HBV 新的治疗靶点提供实验室依据。

by tube-forming experiment. **Results** There were (20. 80  $\pm$  2. 49) VN in the PBS group (27. 60  $\pm$  3. 17) VN in the medium-dose MYDGF group , and (28. 60  $\pm$  3. 27) VN in the high-dose MYDGF group. The differences between the medium-dose MYDGF group and the high-dose MYDGF group were statistically significant compared with the PBS group (P < 0.05). VA/CAM values were respectively (23. 53  $\pm$  1. 96)% in the PBS group, (27. 87  $\pm$  3. 10)% in the medium-dose MYDGF group, and (29. 26  $\pm$  2. 73)% in the high-dose MYDGF group. The differences between the medium-dose MYDGF group and the high-dose MYDGF group were statistically significant compared with the PBS group (P < 0.05). Compared with the control group, MYDGF (100 ng/ml) could promote the proliferation of HUVECs (P < 0.05) and tubulization (P < 0.05), and the difference was statistically significant. **Conclusion** MYDGF can promote angiogenesis in chorioallantoic membrane of chicken embryo. MYDGF can enhance the proliferation and tubulization of HUVECs.

Key words myeloid-derived growth factor; chicken embryo allantoic membrane; angiogenesis

## 1 材料与方法

材料 HepG2 细胞、HepG2. 2. 15 细胞、293A 细胞(上海诺百生物科技有限公司),DH5α 感受态 细胞(上海唯地生物技术有限公司); 0.05% Trypsin、lipofectamine 2000 购自美国 Invitrogen 公司; DMEM 购自美国 HyClone 公司; 凝胶回收试剂盒购自 美国 Axygen 公司: NheI/AscI 内切酶购自加拿大 Fermentas 公司; 胎牛血清、Opti-MEM、MEM 培养基购自 美国 Gibco 公司; 包装质粒 Packaging Mix 购自美国 Biomics Biotech 公司; SYBR Green PCR Master Mix 购 自美国 Promega 公司; Mouse Anti-HBsAg (H2F4) 抗 体、Anti-Mouse IgG H&L (PE/Cy5.5) preadsorbed 购 自比利时 Gentaur 公司; HBsAg、HBeAg 化学发光法 检测试剂盒购自上海东寰生物科技有限公司 批号: 20181103; PCR 引物合成及测序委托上海诺百生物 科技有限公司完成。酶联免疫检测仪购自美国 Rayto 公司; BSL-II 级生物安全柜购自山东博科生物 产业有限公司; 台式冷冻离心机购自力康生物医疗 公司: 荧光定量 PCR 仪购自南京科信仪器仪表制造 有限公司; CO。培养箱购自上海润度生物科技有限 公司; 荧光显微镜购自意大利 Sinico 公司。

#### 1.2 方法

#### 1.2.1 mRNA 慢病毒表达载体的制备

1.2.1.1 各基因 CDS 序列的扩增 在 NCBI 网站 查询 NFIB ( NM\_005596 )、PPAR $\alpha$  ( NM\_005036 )和 IL-8 ( NM\_000584 ) 序列 ,根据 In-fusion 技术设计上 述基因的引物 ,并扩增基因的 CDS 序列 ,引物序列 如表 1。用 HepG2 基因组作为模板 ,用表 1 引物将基因 CDS 序列扩增 ,然后将扩增的序列插入慢病毒表达载体 pL6. 3 -CMV -GFPa1-IRES -MCS 中 ,获得

表 1 基因 CDS 序列扩增引物

基因	CDS 长度 (bp)	引物序列(5´-3´)
NFIB	1 263	F: AATTAAGGAAGCTAGCATGATGTATTCTC CCATCTGTCTCAC
		R: TAAACCCAAGGCGCGCCCTAGCCCAGGT ACCAGGACTGGCT
$\text{PPAR}_{\alpha}$	1 407	F: TTAATTAAGGAAGCTAGCATGGTGGACAC GGAAAGCC
		R: TTTAAACCCAAGGCGCGCCTCAGTACATG TCCCTGTAGATCTCCT
IL-8	300	F: TAATTAAGGAAGCTAGCATGACTTCCAAG CTGGCCG
		R: TTAAACCCAAGGCGCGCCTTATGAATTCT CAGCCCTCTTCAAAAACT

mRNA 慢病毒质粒表达载体。扩增体系: 10 × PCR Buffer for KOD 5 µl,2 mmol/L dNTP 5 µl,25 mmol/L MgSO4 3 μl、引物 F(10 mmol/L)1.5 μl、引物 R(10 mmol/L) 1.5 μl、模板 1 ng、KOD 2.5 units 加水至 50 μl; PCR 扩增条件为: 94 ℃、2 min ,94 ℃、15 s ,60 ℃、30 s 68 ℃、1 kb/min 30 个循环 68 ℃、10 min。 1.2.1.2 慢病毒表达载体酶切及 In-fusion 连接 将 pL6.3-CMV-GFPa1-IRES-MCS 载体通过 NheI/ AscI 双酶切 ,酶切体系: 1 × Buffer 5 μl、5 μg/50 μl 质粒 1 μg、NheI 2 μl、AscI 2 μl 加 ddH。O 至 50 μl。 酶切产物经 0.8% 琼脂糖凝胶电泳,切胶回收,得到 线性化 pL6. 3-CMV-GFPa1-IRES-MCS 载体。 pL6. 3-CMV-GFPa1-IRES-MCS 线性化载体和 HBV DNA-1.3P 通过 Infusion 连接后转化 DH5α 感受态细胞, 连接体系: 5 × CE II Buffer 4 µl、pL6. 3-CMV-GFPa1-IRES-MCS 线性化载体 50~200 ng、HBV DNA-1.3P 20~200 ng、Exnase® II 2 μl 加 ddH<sub>2</sub>O至 20 μl 混 匀。选择转化的克隆进行 PCR 鉴定 、阳性克隆委托 测序公司测序鉴定。

1.2.2 mRNA 慢病毒包装及滴度测定 293A 细胞 经 0.05% Trypsin 消化并铺在 10 cm 培养皿中 细胞 数为  $6\times10^6$  个/皿 培养过夜。转染前 将培养皿内完全培养液换成 5 ml Opti-MEM 培养液。在 5 ml EP 管中加入 1.5 ml Opti-MEM、9  $\mu$ g Packaging Mix 和 3  $\mu$ g 慢病毒表达质粒 混匀;在另一5 ml EP 管中加入 1.5 ml Opti-MEM 和 36  $\mu$ l lipofectamine 2000 混匀。把质粒和 lipofectamine 2000 稀释液混匀 20 min 后 再将质粒脂质体复合物加入到培养皿中充分混匀 培养  $4\sim6$  h 后换培养液 培养 48 h 离心后收集上清液 过滤 获得慢病毒原液。使用荧光法测定病毒活性滴度 171。

- 1. 2. 3 HepG2 和 HepG2. 2. 15 细胞 MOI 测定 293T 细胞用胰酶消化后制成悬液 ,计算所需病毒液体积 ,每个感染复数 (multiplication of infection , MOI) 梯度设加 8% 聚凝胺组和不加 8% 聚凝胺组 ,将所需的病毒液加至靶细胞中 ,对照为慢病毒侵染 293 A 细胞 ,MOI 值 = 1 ,加 8% 聚凝胺 ,放在培养箱中培养 48、72 h 后 ,观察细胞存活状态和侵染后阳性细胞比例并拍照。
- 1.2.4 HepG2 和 HepG2. 2. 15 慢病毒侵染及转染病毒侵染前一天将靶细胞接种至 96 孔板(第2 天细胞密度以 60% ~70% 为宜)。将病毒液冰上融解后 根据测定的 MOI 值用含 2% FBS 的 MEM 培养基稀释 加 8 μg/ml 的 Polybrene 混匀后将配置好的病

毒液加入细胞中,培养箱中培养 4~6 h 后换液,观察细胞生长状态和荧光蛋白表达情况并拍照。把293 A 细胞接种于 12 孔板中培养,去除原来的培养液,换为 opti-MEM,接着配置 DNA 或 RNA 与脂质体的复合物,将其加到细胞中孵育 4~6 h 后换液继续培养 24 h 后观察转染情况。

- 1.2.5 qPCR 检测 HBV DNA 复制及结果分析 收集各组细胞,抽提总 DNA。HBV DNA 的检测引物(上游引物: CTCGTGGTGGACTTCTCTC,下游引物: CAGCAGGATGAAGAGGAA);以18 S rDNA 为内参,扩增引物为引物 18S-F(序列: GAATTGACG-GAAGGGCACCAC)和 18S-R(序列: AAGAACGGC-CATGCACCACCA)。基因倍数关系以 $R=2^{-\Delta\Delta Cl}$ 表示。参考前期反应体系 $R=2^{-\Delta\Delta Cl}$ 表示。
- 1.2.6 化学发光法检测细胞上清液中 HBsAg 和 HBeAg 表达量 参照前期实验方法<sup>[8]</sup> ,收集细胞上清液 ,测定 HBsAg 和 HBeAg 表达量 ,检测方法根据 HBsAg、HBeAg 试剂盒说明书。
- 1.2.7 免疫荧光法检测细胞内 HBsAg 表达量 参

照前期实验方法<sup>[8]</sup> 将细胞爬片 0.25% TRITON X-100/PBS 孵育 5 min 使细胞通透 用 10% BSA/PBS , 37 ℃下孵育 30 min 再用 3% BSA/PBS 稀释浓度为 1:100 的 Mouse Anti-HBsAg (H2F4) 抗体 37 ℃下孵育 2 h 3% BSA/PBS 稀释浓度为 1:200 的 Anti-Mouse IgG H&L (PE/Cy5.5) preadsorbed 37 ℃下避光孵育 45 min , 荧光显微镜观察并拍照 ,将照片用Image-Pro Plus 软件计算平均吸光度和分析荧光的强弱。

**1.3** 统计学处理 运用软件 SPSS 20.0 进行统计分析 计量资料以 $\bar{x} \pm s$  表示,组间比较采用成组设计的 t 检验 不符合正态分布或方差不齐采用成组设计的秩和检验 P < 0.05 为差异有统计学意义。

#### 2 结果

2.1 mRNA 慢病毒表达载体的制备 以 HepG2 基 因组为模板扩增 PPARα、NFIB 和 IL-8 mRNA 的 CDS 序列,然后将该序列插入慢病毒表达载体 pL6. 3-CMV-GFPa1-IRES-MCS 中,并对这些载体进 行测序验证,获得构建正确的 pL6. 3-CMV-GFPa1-IRES-NFIB、 pL6. 3-CMV-GFPa1-IRES-PPARα 和 pL6. 3-CMV-GFPa1-IRES-IL-8 载体,见图 1。

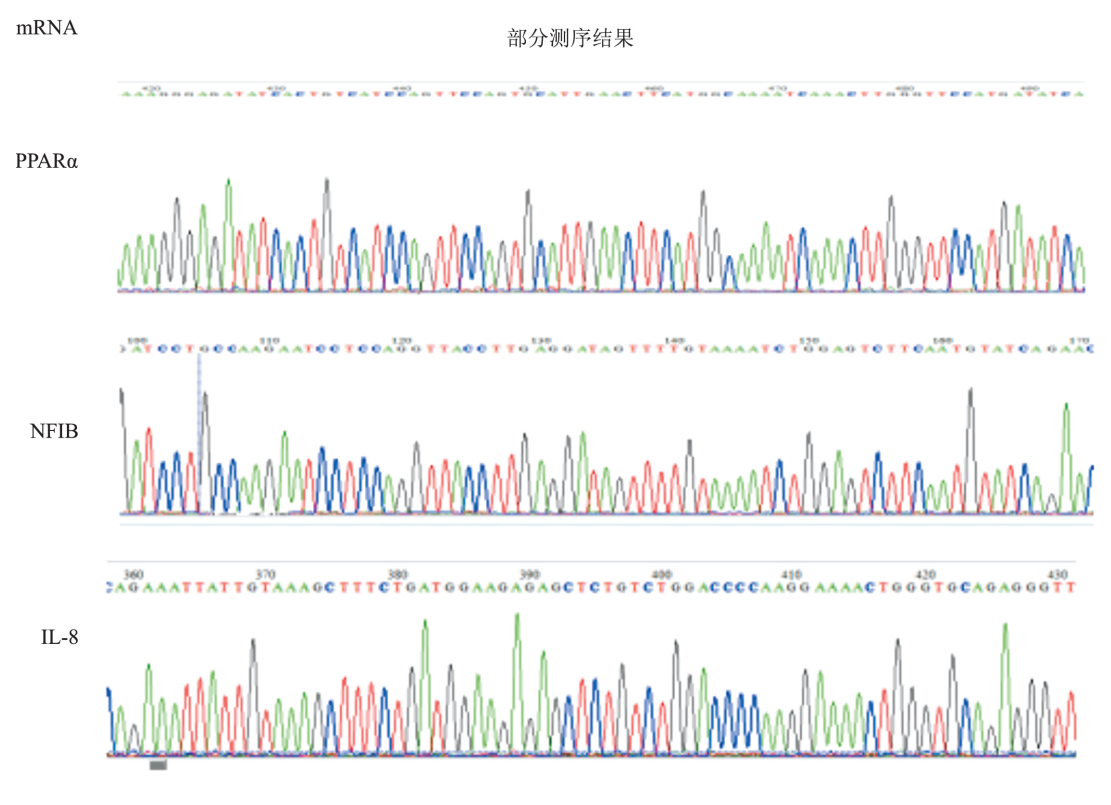


图 1 pL6. 3-CMV-GFPa1-IRES-NFIB、pL6. 3-CMV-GFPa1-IRES-PPARα 和 pL6. 3-CMV-GFPa1-IRES-IL-8 载体的测序图谱

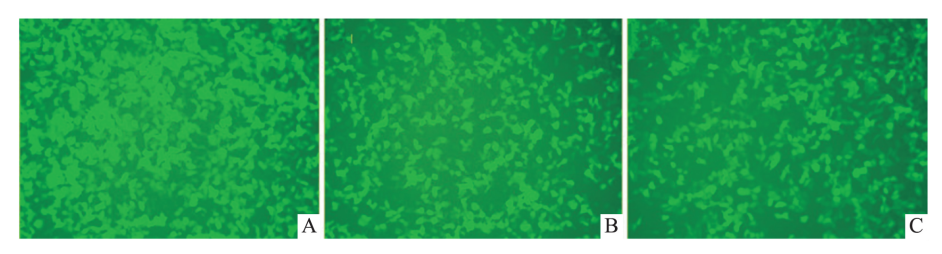


图 2 慢病毒滴度测定荧光图 ×100

A: 慢病毒 pL6. 3-CMV-GFPa1-IRES-NFIB 侵染 293A 细胞; B: 慢病毒 pL6. 3-CMV-GFPa1-IRES-PPARα 侵染 293A 细胞; C: 慢病毒 pL6. 3-CMV-GFPa1-IRES-IL8 侵染 293A 细胞

- 2.2 mRNA 表达慢病毒包装 将 pL6. 3-CMV-GF-Pa1-IRES-NFIB、pL6. 3-CMV-GFPa1-IRES-PPAR $\alpha$  和 pL6. 3-CMV-GFPa1-IRES-IL-8 质粒分别和 PSPAX2、PMD2G 质粒共转染 293A 细胞后包装病毒,收集病毒液 浓缩。采用荧光法测定慢病毒滴度 实验分别用 0. 4  $\mu$ l 慢病毒液侵染  $1\times 10^5$  个细胞,pL6. 3-CMV-GFPa1-IRES-NFIB 感染细胞比例达到 60% ,其滴度为  $1\times 10^5\times 60\%\times 10^3/0$ .  $4=1.5\times 10^8$  TU/ml;pL6. 3-CMV-GFPa1-IRES-PPAR $\alpha$  和 pL6. 3-CMV-GFPa1-IRES-IL-8 病毒液感染细胞比例达到 40% ,其滴度为  $1\times 10^8$  TU/ml。见图 2。
- 2.3 HepG2. 2. 15、HBV1. 3P-HepG2 细胞内各组 mRNA 相对表达量的比较 将 PPAR $\alpha$ 、NFIB 及 IL-8 基因分别转入 HepG2. 2. 15、HBV1. 3P-HepG2 细胞中 将 NC 作为对照组 转染 48 h 收集细胞沉淀。 秩和检验结果显示,在以上 2 种不同细胞中,NC 组与 PPAR $\alpha$  组比较,差异有统计学意义(P < 0.05); NC 组与 NFIB 组比较,差异有统计学意义(均 P < 0.05); NC 组与 IL-8 组比较,差异有统计学意义(均 P < 0.05); NC 组与 IL-8 组比较,差异有统计学意义(均 P < 0.05)。 见表 2。

表 2 HepG2. 2. 15、HBV1. 3P-HepG2 细胞内 各组 mRNA 相对表达量的秩和检验(n=6)

细胞类型	中位数	25 百分位数	75 百分位数	Z值	P值
HepG2. 2. 15 细胞					
NC	1.005	0.975	1.055	-2.882	0.002
$PPAR_{\alpha}$	691.185	687.003	735.055		
NC	0.995	0.968	1.025		
NFIB	2 222. 220	2 171.438	2 258. 220		
NC	0.990	0.958	1.015		
IL-8	346.995	337.040	356.880		
HBV1.3P-HepG2 细胞					
NC	0.990	0.958	1.035		
$PPAR_{\alpha}$	548.873	551.315	570.708		
NC	1.010	0.958	1.040		
NFIB	429.970	418.058	436.095		
NC	1.005	0.990	1.023		
IL-8	528.575	510.400	541.725		

- 2.4 HepG2. 2. 15、HBV1. 3P-HepG2 细胞内各组 HBV DNA 相对表达量的比较 PPARα 分别转染 HepG2. 2. 15、HBV1. 3P-HepG2 细胞后能促进 HBV DNA 的复制 其表达程度分别是 NC 组的 1. 46 倍和 1. 27 倍 差异有统计学意义( P < 0. 05); NFIB 分别转染 HepG2. 2. 15、HBV1. 3P-HepG2 细胞后可以抑制 HBV DNA 的复制 ,其表达程度分别是 NC 组的 0. 76 倍和 0. 55 倍 ,差异有统计学意义( P < 0. 05、P < 0. 001); IL-8 分别转染 HepG2. 2. 15、HBV1. 3P-HepG2 细胞后可以促进 HBV DNA 的复制 ,其表达程度分别是 NC 组的 1. 54 倍和 1. 62 倍 ,差异有统计学意义( P < 0. 05、P < 0. 001)。 见表 3。
- 2.5 HepG2. 2. 15、HBV1. 3P-HepG2 细胞上清液中各组 HBsAg、HBeAg 表达量的比较 与 NC 组比较 ,在 HepG2. 2. 15、HBV1. 3P-HepG2 细胞上清液中 ,NFIB 转染后可以下调 HBsAg 和 HBeAg 表达 ,差异有统计学意义(P < 0.001、P < 0.05);在 HepG2. 2. 15、HBV1. 3P-HepG2 细胞上清液中, PPAR $\alpha$ 和 IL-8 转染后可以上调 HBsAg 和 HBeAg 表达,差异有统计学意义(均 P < 0.05)。见表 4、5。

表 3 HepG2. 2. 15、HBV1. 3P-HepG2 细胞内各组 HBV DNA 相对表达量比较(n=3  $\bar{x}\pm s$ )

细胞类型	HBV DNA 相对表达量	t 值	P值
HepG2.2.15 细胞			
NC	$1.002 \pm 0.067$	6.354	0.003
$PPAR\alpha$	$1.461 \pm 0.027$ #		
NC	$1.002 \pm 0.067$	4.061	0.015
NFIB	$0.650 \pm 0.055$ <sup>#</sup>		
NC	$1.002 \pm 0.067$	7.073	0.002
IL-8	$1.540 \pm 0.036^{\#}$		
HBV1.3P-HepG2 细胞			
NC	$1.000 \pm 0.024$	5.185	0.007
$PPAR\alpha$	$1.269 \pm 0.046^{\#}$		
NC	$1.000 \pm 0.024$	11.402	< 0.001
NFIB	$0.553 \pm 0.031^{###}$		
NC	$1.000 \pm 0.024$	14.445	< 0.001
IL-8	$1.625 \pm 0.036^{###}$		

与对照组比较: #P < 0.05 , ### P < 0.001

表 4 HepG2. 2. 15、HBV1. 3P-HepG2 细胞上清液中 各组 HBsAg 表达量比较(n=3  $\bar{x} \pm s$ )

细胞类型	HBsAg 表达量( IU/ml)	t 值	P 值
HepG2.2.15 细胞			
NC	$46.68 \pm 0.52$	6.197	0.003
$PPAR_{\alpha}$	$62.20 \pm 2.45$ <sup>#</sup>		
NC	$46.68 \pm 0.52$	19.871	< 0.001
NFIB	$29.67 \pm 0.68^{\#\#}$		
NC	$46.68 \pm 0.52$	7.556	0.002
IL-8	$58.39 \pm 1.46^{\#}$		
HBV1.3P-HepG2 细胞			
NC	$102.22 \pm 5.89$	5.285	0.006
$PPAR\alpha$	$146.69 \pm 6.01^{\#}$		
NC	$102.22 \pm 5.89$	5.355	0.006
NFIB	$67.57 \pm 2.68$ <sup>#</sup>		
NC	$102.22 \pm 5.89$	3.671	0.021
IL-8	$126.57 \pm 3.05$ <sup>#</sup>		

与对照组比较: #P < 0.05 , ### P < 0.001

表 5 HepG2. 2. 15、HBV1. 3P-HepG2 细胞上清液中 各组 HBeAg 表达量比较 $(n=3 \ \bar{x} \pm s)$ 

——————— 细胞类型	HBeAg 表达量( NCU/ml)	t 值	P 值
HepG2.2.15 细胞			
NC	$35.20 \pm 0.70$	13.053	< 0.001
$PPAR_{\alpha}$	$46.74 \pm 0.54^{###}$		
NC	$35.20 \pm 0.70$	16.333	< 0.001
NFIB	$21.15 \pm 0.50^{###}$		
NC	$35.20 \pm 0.70$	7.962	0.001
IL-8	$43.31 \pm 0.74$		
HBV1.3P-HepG2 \$	田胞		
NC	$54.10 \pm 4.55$	3.372	0.028
$PPAR_{\alpha}$	$71.29 \pm 2.30$ <sup>#</sup>		
NC	$54.10 \pm 4.55$	2.982	0.041
NFIB	$38.06 \pm 2.87^{\#}$		
NC	$54.10 \pm 4.55$	2.836	0.047
IL-8	$68.01 \pm 1.83^{\#}$		

与对照组比较: #P<0.05 ,###P<0.001

2. 6 免疫荧光检测 mRNA 在 HepG2. 2. 15、HBV1. 3P-HepG2 细胞内对 HBsAg 表达的影响与 NC 组比较 ,NFIB 转染 HepG2. 2. 15、HBV1. 3P-HepG2 细胞后 HBsAg 表达下降 ,差异有统计学意义 (P < 0.05); PPAR $\alpha$  和 IL-8 转染 HepG2. 2. 15、HBV1. 3P-HepG2 细胞后 HBsAg 表达上调 ,差异有统计学意义(P < 0.05)。见表6 图 3、4。

### 3 讨论

HBV 是用超螺旋结构 cccDNA 把其基因组物质储存起来,在细胞核内能够持久存在,而且宿主免疫

表 6 免疫荧光检测 mRNA 在 HepG2. 2. 15、HBV1. 3P-HepG2 细胞内对 HBsAg 表达的影响(n=3  $\bar{x} \pm s$ )

细胞类型	细胞内 HBsAg 表达量	t 值	P 值
HepG2.2.15 细胞			
NC	220 599 ± 25 148	2.951	0.042
$PPAR\alpha$	338 462 ±31 027#		
NC	220 599 ± 25 148	3.279	0.031
NFIB	115 604 ± 19 826#		
NC	220 599 ± 25 148	2.925	0.043
IL-8	339 985 ± 32 154#		
HBV1.3P-HepG2 细胞			
NC	$321\ 023\ \pm 24\ 107$	4.436	0.011
$PPAR_{\alpha}$	479 355 ± 26 319#		
NC	$321\ 023\ \pm24\ 107$	4.715	0.009
NFIB	172 207 ± 20 376#		
NC	$321\ 023 \pm 24\ 107$	3.532	0.024
IL-8	453 023 ± 28 557#		

与对照组比较: #P < 0.05

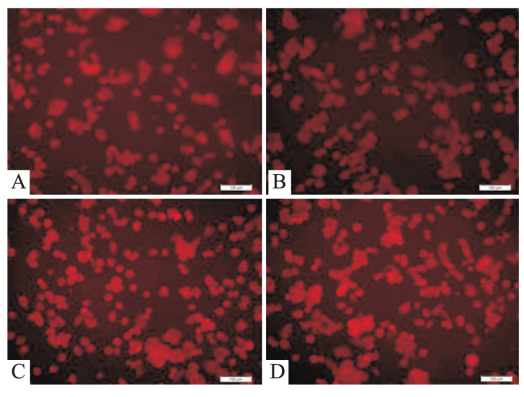


图 3 免疫荧光检测 mRNA 在

**HepG2. 2. 15** 细胞内对 **HBsAg** 表达的影响 ×100

A: NC 组; B: NFIB 转染 HepG2. 2. 15 细胞后 HBsAg 表达量; C: PPARα 转染 HepG2. 2. 15 细胞后 HBsAg 表达量; D: IL-8 转染 HepG2. 2. 15 细胞后 HBsAg 表达量

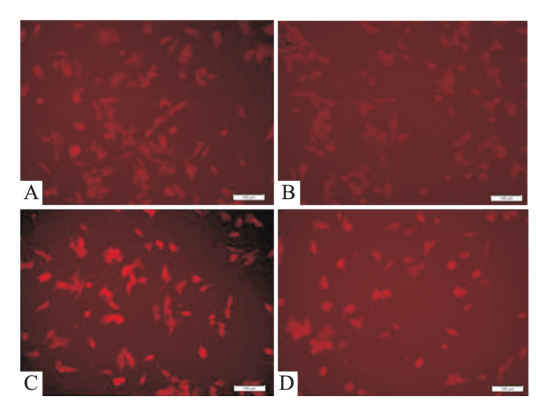


图 4 免疫荧光检测 mRNA 在 HBV1. 3P-HepG2 细胞内 对 HBsAg 表达的影响 ×100

A: NC 组; B: NFIB 转染 HBV1. 3P-HepG2 细胞后 HBsAg 表达量; C: PPARα 转染 HBV1. 3P-HepG2 细胞后 HBsAg 表达量; D: IL-8 转染 HBV1. 3P-HepG2 细胞后 HBsAg 表达量 应答不能干扰它。干扰素和核苷(酸)类似物这两大抗病毒药都不能干预到 cccDNA,这成为 HBV 感染很难治愈的关键因素。宿主与病毒通过长时间的相互竞争,使得其抗病毒机理变得复杂。因此,在研究 HBV 与宿主之间关系的同时,尤其需要关注和有必要从宿主肝细胞内探寻药物治疗的新靶点。

mRNA 是由 DNA 的一条链作为模板转录而来的 携带遗传信息且能指导蛋白质合成的一类单链核糖核酸。越来越多的研究 $^{[9]}$ 表明 ,mRNA 在 HBV 复制中扮演着重要的角色。过氧化物酶体增殖物激活受体 (peroxisome proliferators-activated receptors , PPARs) 根据功能不同 将其分为 PPAR $_{\alpha}$ 、PPAR $_{\beta}$ / $_{\delta}$ 和 PPAR $_{\gamma}$ 3 种亚型。研究 $^{[10]}$ 表明 PPAR $_{\alpha}$  反义序列 PPAR $_{\alpha}$ -2 能够使细胞中的 PPAR $_{\alpha}$  mRNA 和蛋白水平降低 ,随着剂量的增加 ,抑制肝癌细胞中 HBsAg 和 HBeAg 的水平越明显。Chen et al $^{[11]}$  报道 miR-141-3p 能通过靶向 PPAR $_{\alpha}$  mRNA ,将 HBV 启动子的活性减少 ,从而抑制 HBV 复制。

NFIB 属于核因子-I (nuclear factor-I,NF-I) 家族,NFIB 是其成员之一,参与各种细胞的基因转录和调控。HBV 基因组中有 3 个 NF-I 结合位点可以被识别出来,且各自发挥着不同的功能。许多细胞与 HBV 基因启动子含有 NF-I 的结合点,表明 HBV 基因启动子的有效活化需要 NF-I 的参与 缺失部分或整个 NF-I 结合点导致 HBVS 基因的转录降低 5~10 倍<sup>[12]</sup>。Guo et al<sup>[13]</sup>发现 NFIB 对 HBV 增强子和核心启动子(EN I-Cp) 具有抑制作用,同时还能降低 HBsAg 和 HBeAg 的表达,miR372 可以与 NFIB相结合,从而阻止 NFIB 抑制 HBV 复制的作用。

IL-8 是肝细胞内重要的炎症趋化因子,迄今为止尚不清楚 IL-8 在 HBV 致病过程中的作用。穆玄玄等<sup>[14]</sup>报道 HBV 相关慢加急性肝衰竭患者肝组织及外周血 IL-8 水平显著升高,且血清 IL-8 水平与患者肝脏炎症损伤和病情严重程度有关。近年来研究<sup>[15]</sup>表明,在 HBV 感染早期阶段,IL-8 可以促进HBV 复制,IL-8 过表达可导致肝细胞内产生许多HBV 转录因子,可以促进 CHB 患者发生慢性化和重症化的风险。

本研究通过慢病毒将 PPAR $\alpha$ 、NFIB 及 IL-8 转入 HepG2. 2. 15 和 HBV1. 3P-HepG2 细胞模型中 秩和检验结果显示 在以上 2 种不同细胞中 ,NC 组与

PPARα组、NFIB组、IL-8组两两比较,差异均有统 计学意义,说明 PPARα、NFIB 及 IL-8 在上述细胞模 型中能够正常表达。mRNA 干预 HBV 功能验证显 示 、PPARα、IL-8 能够增加 HBV DNA 表达量及上调 HBsAg、HBeAg 表达水平,而 NFIB 能够减少 HBV DNA 表达量及下调 HBsAg、HBeAg 表达水平。随后 采用免疫荧光检测 mRNA 在2 个细胞模型内对 HBsAg 表达的影响,结果显示,NFIB 转染 HBV1.3P-HepG2 后 HBsAg 表达下降 ,PPARα 和 IL-8 转染后 HBsAg 表达上调。本研究在细胞模型内外同时做 了验证 因此得出结论 肝细胞内 PPARα 和 IL-8 是 一种促进 HBV 复制的 mRNA ,而 NFIB 是一种抑制 HBV 复制的 mRNA,这与吴小桃 等[10]、Guo et al<sup>[13]</sup>、穆玄玄 等<sup>[14]</sup>的研究结果有相似之处。与上 述研究不同的是,本实验在 HepG2. 2. 15 细胞中验 证的同时,选择前期成功构建的 HBV1. 3P-HepG2 模型进行验证,该模型不仅能够稳定表达 HBV 标志 物 而且 HBV1.3P 能反映病毒株的自身复制情况, 有利于研究 HBV 复制与转录调节的全过程[11]。

综上所述 本实验利用慢病毒基因转染技术 观察到转染后的 mRNA 在 HepG2. 2. 15 和 HBV1. 3P-HepG2 细胞模型中 其中 PPARa、IL-8 能够促进 HBV 复制 而 NFIB 可以抑制 HBV 复制 ,但它们通过何种途径促进或抑制 HBV 复制,其机制有待进一步深入研究。NFIB 可能成为治疗 HBV 的新型药物作用靶点 有待在动物模型上进一步验证其抑制 HBV 的疗效。本研究显示,在 HepG2. 2. 15、HBV1. 3P-HepG2细胞模型中过表达 IL-8 能够提高 HBV 复制水平。该研究结果可能有助于更好地认识肝脏炎症与 HBV DNA 载量之间的辨证关系,明确中医药(包括壮医药) 在抗 HBV 领域的定位与价值,实现中医药抗 HBV 治疗的新突破。

# 参考文献

- [1] 王贵强 汪福生 庄 辉 等. 慢性乙型肝炎防治指南(2019年版) [J]. 临床肝胆病杂志 2019 35(12): 2648 69.
- [2] Caviglia G P , Abate M L , Pellicano R , et al. Chronic hepatitis B therapy: available drugs and treatment guidelines [J]. Minerva Gastroenterol Dietol , 2015  $\beta1(2):61-70$ .
- [3] 徐在超,赵凯涛,江应安,等. 乙型肝炎抗病毒药物研究进展 [J]. 科学通报 2019 64(30):3123-41.
- [4] 邱 华 毛德文 ,龙富立 ,等. 白花香莲解毒颗粒对 HBV 全基 因组1.3 倍体细胞模型病毒复制与表达的影响[J]. 中西医结

- 合肝病杂志 2018 28(6):345-8.
- [5] 邱 华 毛德文 胡振斌 等. 白花香莲解毒颗粒治疗 HBeAg 阳性慢性 HBV 免疫耐受期患者的临床研究 [J]. 中西医结合肝病杂志 2019 29(2):121-3,139.
- [6] 黄 鹏,邱 华,李家焕,等. 白花香莲解毒颗粒抑制 HBV 的 mRNA 表达谱筛选[J]. 中医学报 2020,35(1):117-24.
- [7] 许常青 陈 伟 方 圆 等. KSHV K15P 慢病毒载体的构建及 其滴度测定[J]. 安徽医科大学学报 2016 51(10):1417-20.
- [8] 邱 华 高月求,毛德文,等. HBV 全基因组 1.3 倍体 HepG2 细胞模型的构建与表达 [J]. 临床肝胆病杂志,2017,33(4):668-73.
- [9] Wang X ,Chen X ,Ye H ,et al. Association of mRNA expression level of IP-10 in peripheral blood mononuclear cells with HBV-associated acute-on-chronic liver failure and its prognosis [J]. J. Huazhong Univ Sci Technol Med Sci , 2017 , 37(5): 755 - 60.
- [10] 吴小桃 杨 静 ,王学军 ,等. 抑制核转录因子 PPARa 的反义

- 寡核苷酸的抗乙型肝炎病毒活性研究[J]. 生物技术通讯, 2011 22(6):773-6.
- [11] Chen Y , Shi M , Yu G , et al. Interleukin-8 , a promising predictor for prognosis of pancreatic cancer [J]. World J Gastroenterol , 2012 , 18(10): 1123 - 9.
- [12] 杨 蓉. Lnc158 对 Nfib 的表达及神经干细胞分化的调控作用的研究[D]. 南昌: 南昌大学 2017.
- [13] Guo H , Liu H , Mitchelson K , et al. Micrornas-372/373 promote the expression of hepatitis B virus through the targeting of nuclear factor I/B[J]. Hepatology 2011 54(3): 808-19.
- [14] 穆玄玄,管世鹤 杨 凯,等. IL-8 在 HBV 相关慢加急性肝衰竭中的临床意义[J]. 安徽医科大学学报 2017 52(4):562 5.
- [15] 金 蕾 叶 珺 郜玉峰 筹. 乙型肝炎病毒及其抗原诱导肝癌 细胞 HepG2 表达 IL-8 研究[J]. 安徽医学 2016 37(3): 266 8

# Functional verification of inhibiting HBV replication and expression by hepatocyte-related mRNA

Huang Peng<sup>1</sup> Qiu Hua<sup>2</sup> ,Fan Chunjiao<sup>1</sup> ,et al

( <sup>1</sup>Graduate School of Guangxi University of Traditional Chinese Medicine , Nanning 530001;

<sup>2</sup>Dept of Hepatology , The First Affiliated Hospital of Guangxi University of

Traditional Chinese Medicine , Nanning 530023)

Abstract *Objective* To verify the mRNA that inhibits the replication and expression of hepatitis B virus ( HBV) in hepatocytes. *Methods* The peroxisome proliferator activated receptor ( PPAR)  $\alpha$  ( PPAR $\alpha$ ) , nuclear factor B ( NFIB) and interleukin-8 ( IL-8) genes were transferred into HepG2. 2. 15 and HBV whole genome 1. 3ploid HepG2 ( HBV1. 3P-HepG2) cell models by lentiviral mediation. 48 hours after transfection , mRNA expression and HBVDNA replication level were detected by qPCR with blank control group ( NC) as control. The expression of HBsAg and HBeAg in the cell supernatant was detected by chemiluminescence , and the expression of HBsAg in the cells was detected by immunofluorescence. *Results* In HepG2. 2. 15 and HBV1. 3P-HepG2 cell models , PPAR $\alpha$  could promote the replication of HBVDNA and the expression of HBsAg , and the expression of HBVDNA was 1. 46 and 1. 27 times higher than that of NC group ( P < 0.05) . NFIB could inhibit the replication of HBVDNA and the expression of HBsAg , and the expression of HBsAg , and the expression of HBVDNA was 0. 76 and 0. 55 times higher than that of NC group ( P < 0.05) . *LL*-8 could promote the replication of HBVDNA and the expression of HBsAg , and the expression of HB-VDNA was 1. 54 times and 1. 62 times higher than that of NC group ( P < 0.05) . *Conclusion* PPAR $\alpha$  and IL-8 in hepatocytes can promote the replication and expression of HBV , while NFIB can inhibit the replication and expression of HBV , which can provide laboratory basis for follow-up research.

**Key words** hepatitis B virus; messenger ribonucleic acid; hepatocytes; lentivirus transfection technique